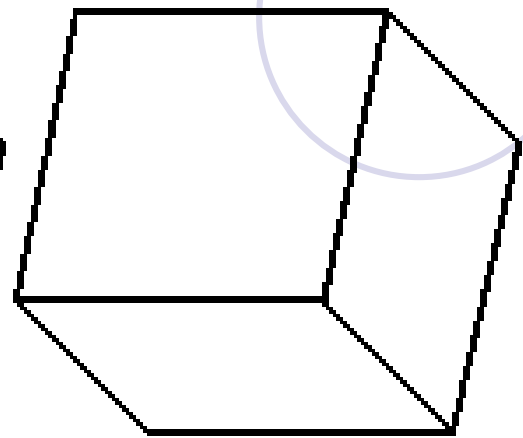
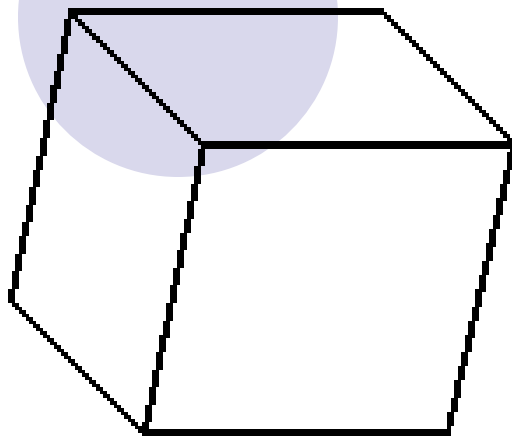
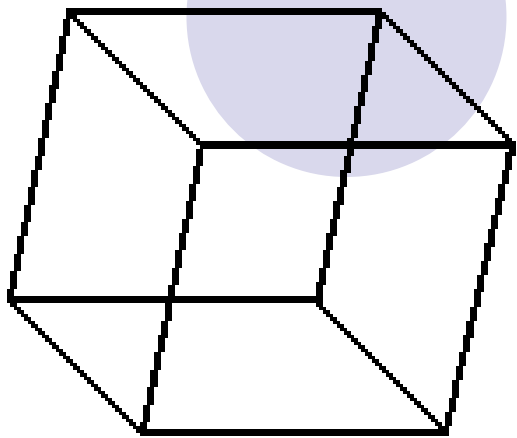


# УДАЛЕНИЕ НЕВИДИМЫХ ЛИНИЙ И ПОВЕРХНОСТЕЙ

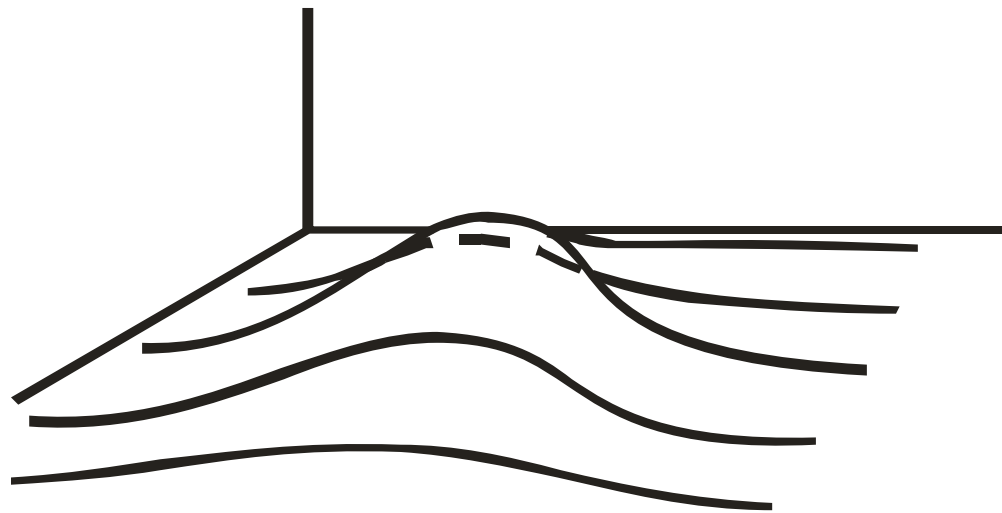
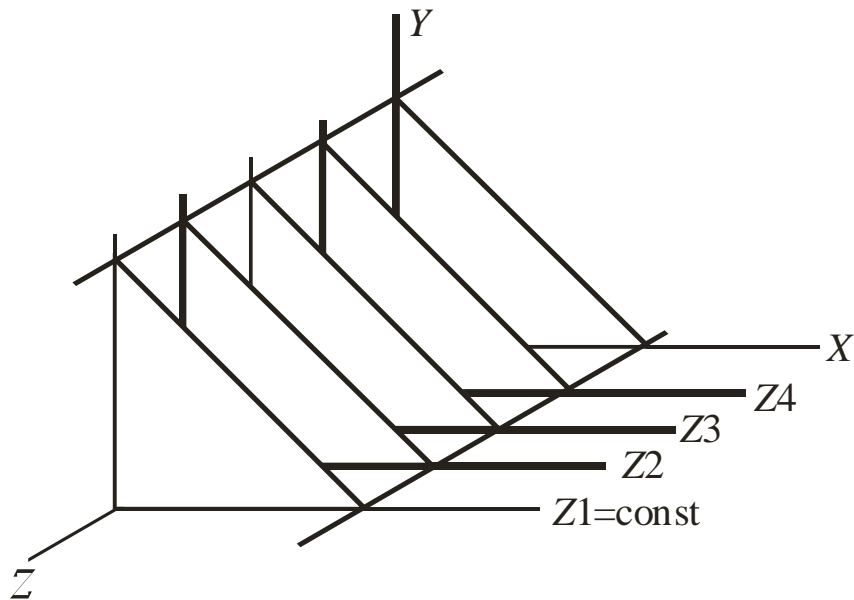


# Классификация алгоритмов удаления

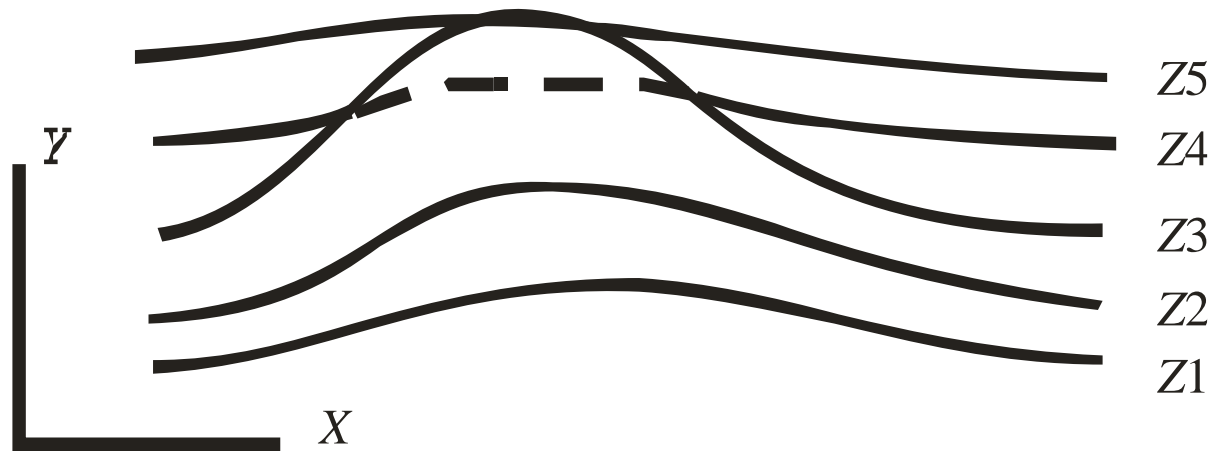
- Алгоритмы, работающие в объектном пространстве. (**Сложность  $n^2$** ) *Пример: алгоритм Робертса.*
- Алгоритмы, работающие в пространстве изображения или экрана (**Сложность  $nM$** ). *Пример: Z буффер.*
- Алгоритмы, формирующие список приоритетов. *Пример: Алгоритм Художника*

# Алгоритм плавающего горизонта

- Алгоритм используется для построений поверхностей:
- $F(x, y, z) = 0$
- Главная идея данного метода заключается в сведении трехмерной задачи к двумерной путем пересечения исходной поверхности последовательностью параллельных секущих плоскостей, имеющих постоянные значения координат  $x$ ,  $y$  или  $z$ . В результате получается набор кривых в пространстве.
- На следующем этапе кривые проецирует на КП



# Проекция кривых на плоскость $z = 0$

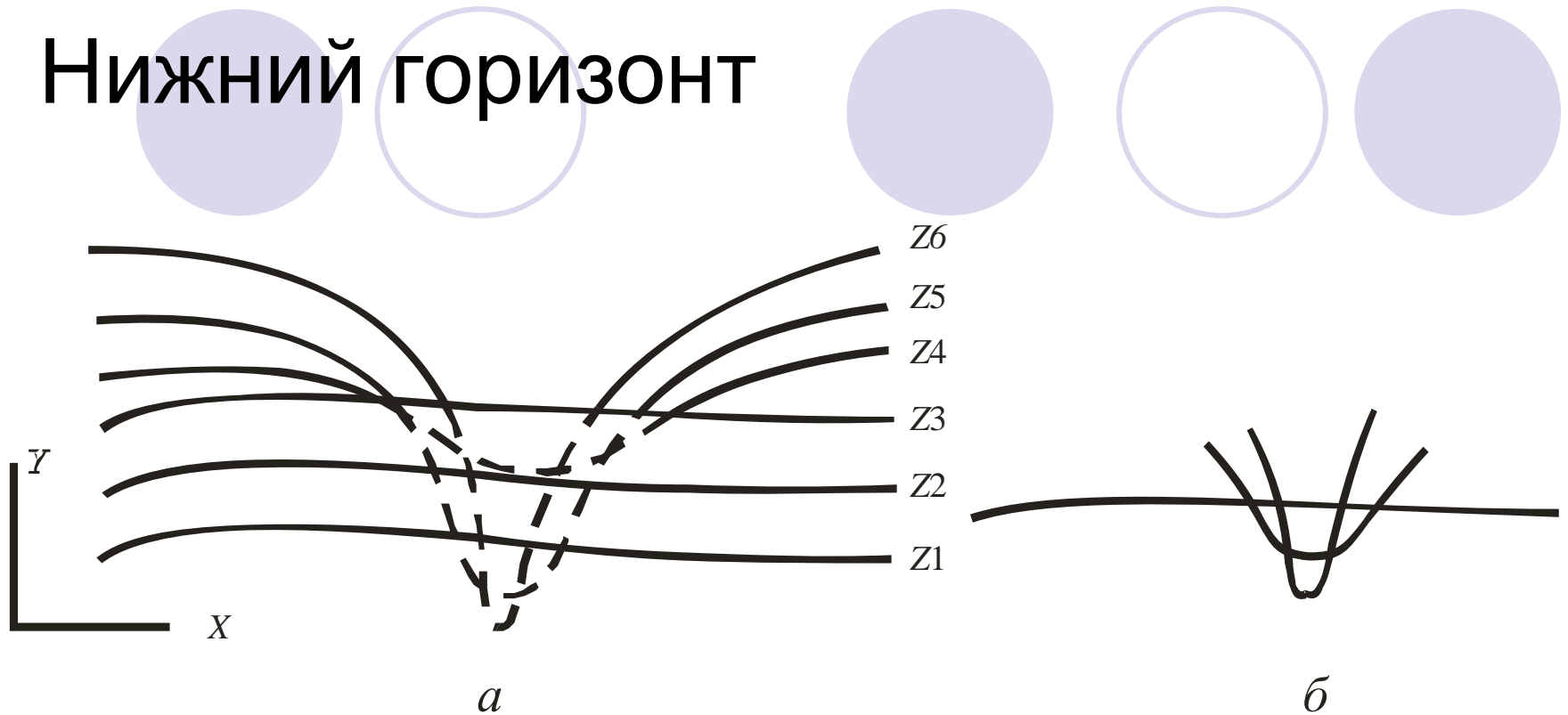


- Проекция кривых начинают с самой ближней к наблюдателю.
- При обработке  $i$ -й кривой руководствуются следующим правилом:
- Если на текущей плоскости при некотором заданном значении  $x$  соответствующее значение  $y$  на кривой больше значения  $y$  для всех предыдущих кривых при этом значении  $x$ , то текущая кривая видима в этой точке; в противном случае она невидима.

# Особенности реализации

- Для хранения максимальных значений  $u$  при каждом значении  $x$  используется массив, длина которого равна числу различных точек (разрешению) по оси  $x$  в пространстве изображения.
- Значения, хранящиеся в этом массиве, представляют собой текущие значения "горизонта". Поэтому по мере рисования каждой очередной кривой этот горизонт "всплывает". Фактически этот алгоритм удаления невидимых линий работает каждый раз с одной линией

# Нижний горизонт

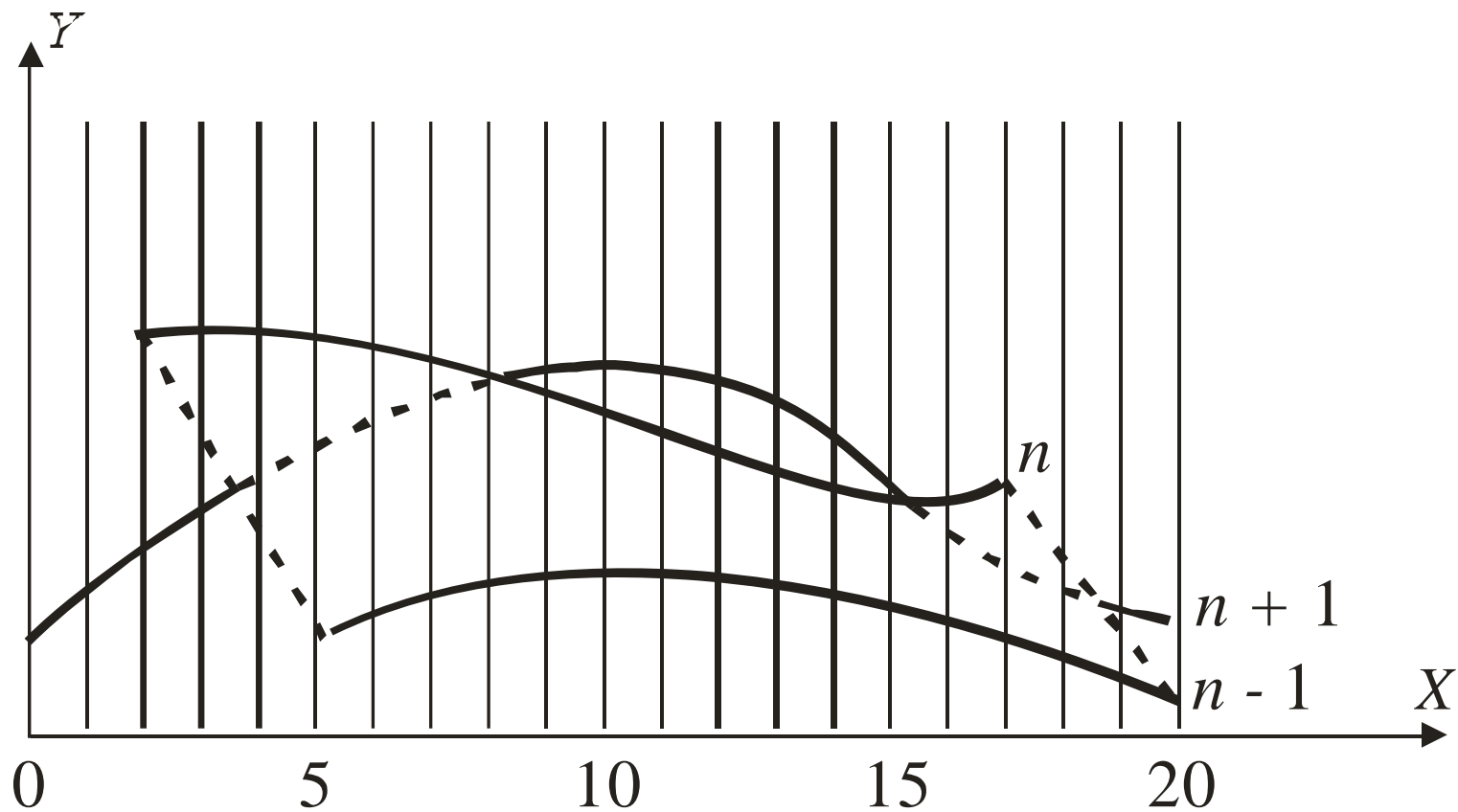


- реализуется при помощи второго массива, длина которого равна числу различных точек по оси  $x$  в пространстве изображения. Этот массив содержит наименьшие значения  $z$  для каждого значения  $x$ .

# Программная реализация

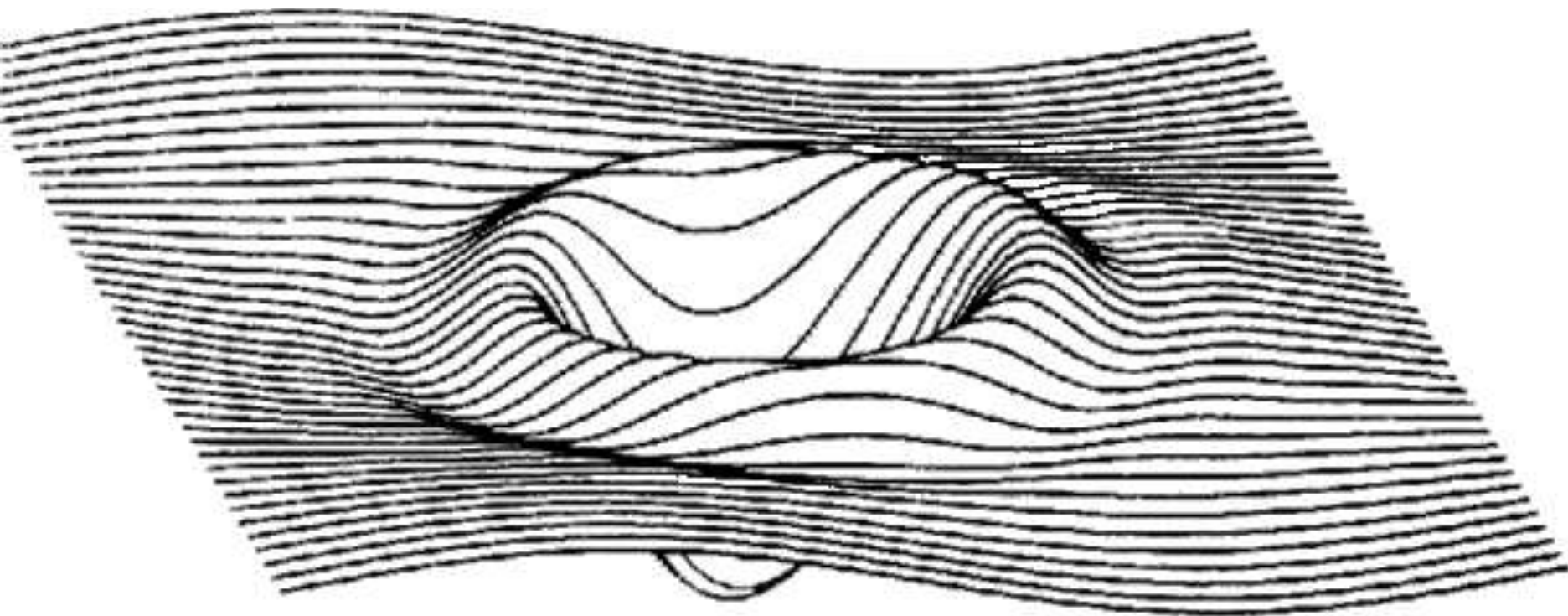
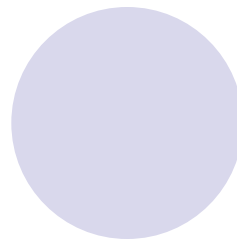
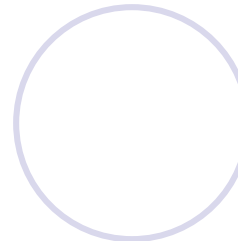
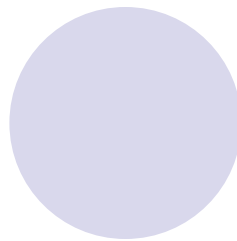
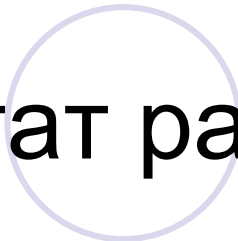
- While  $z < 5$  do
- begin  $x := 0$ ;
- While  $x \leq 2 \cdot \text{Pi}$  do
- begin
- $y := \text{MyFunc}(z, x)$ ; // Вычисление функции
- $\text{Preobr}$ ; //Вычисление проекции
- if  $y_c < \text{Up}[x_c]$  then //Обработка верхнего горизонта
- begin
- $\text{Pixels}[x_c, y_c] := \text{clBlack}$ ;       $\text{Up}[x_c] := y_c$ ;
- end;
- if  $y_c > \text{Down}[x_c]$  then //Обработка нижнего горизонта
- begin
- $\text{Pixels}[x_c, y_c] := \text{clBlack}$ ;       $\text{Down}[x_c] := y_c$ ;
- end;
- $x := x + 0.01$ ;
- end;//while x
- $z := z + 0.1$ ;
- end;//while z

# Эффект зазубренного ребра





Результат работы



# Алгоритм Робертса



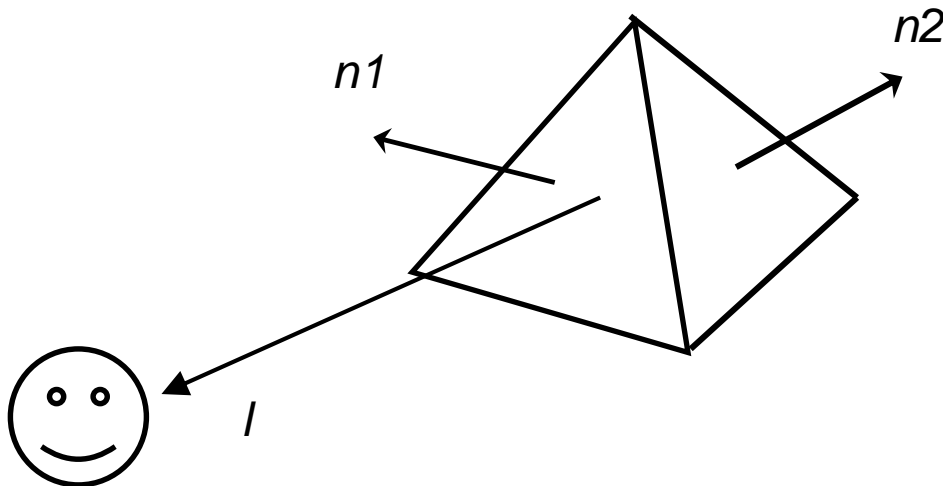
1. Определение нелицевых граней для каждого тела отдельно.
2. Определение и удаление невидимых ребер.

# Лицевые и нелицевые грани

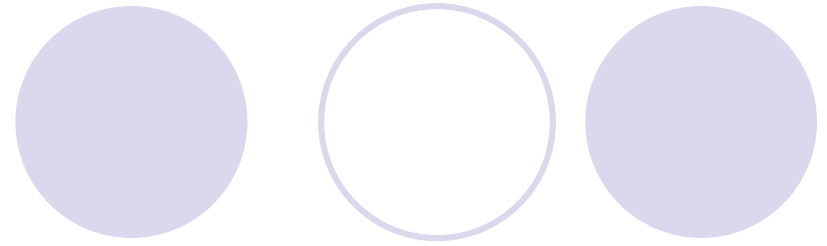
- $F$  — некоторая грань многогранника
- Плоскость, несущая эту грань, разделяет пространство на два подпространства.
- Назовем положительным то из них, в которое смотрит внешняя нормаль к грани.
- Если точка наблюдения – в положительном подпространстве, то грань – **лицевая**, в противном случае – **нелицевая**.

# Определение нелицевых граней

- IF  $(l, n) > 0$  then грань лицевая
- else грань не лицевая
- где
- $l$  – вектор, направленный к наблюдателю
- $n$  – вектор внешней нормали грани



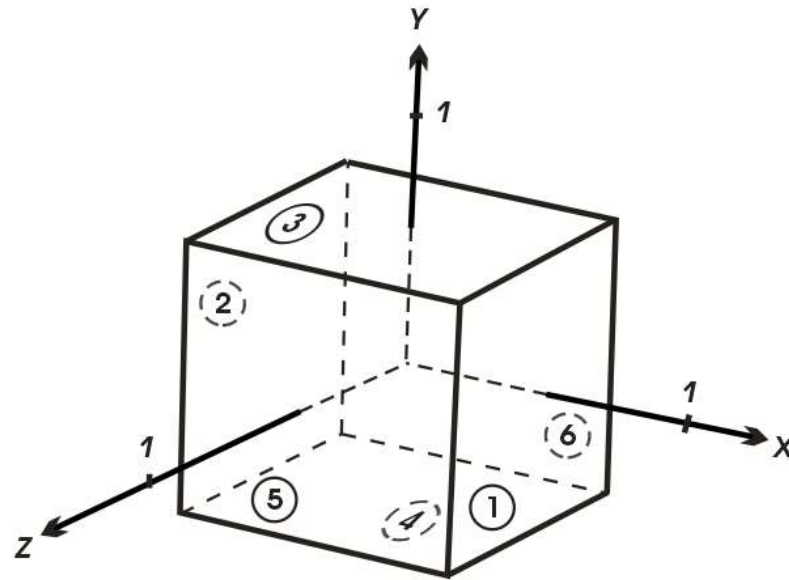
# Матрица тела



- Уравнение плоскости  $ax + by + cz + d = 0$
- В матричной форме  $[x \ y \ z \ 1][P]^T = 0$
- Выпуклое твердое тело можно выразить матрицей тела, состоящей из коэффициентов уравнений плоскостей

$$[M] = \begin{bmatrix} a_1 & a_2 & \dots & a_n \\ b_1 & b_2 & \dots & b_n \\ c_1 & c_2 & \dots & c_n \\ d_1 & d_2 & \dots & d_n \end{bmatrix}$$

# Пример задания матрицы тела



Шесть плоскостей, описывающих данный куб, таковы:  $x_1 = 1/2$ ,  $x_2 = -1/2$ ,  $y_3 = 1/2$ ,  $y_4 = -1/2$ ,  $z_5 = 1/2$ ,  $z_6 = -1/2$ . Более подробно уравнение правой плоскости можно записать как  $x_1 + 0 \cdot y_1 + 0 \cdot z_1 - (1/2) = 0$  или  $2x_1 - 1 = 0$

$$\begin{bmatrix} 1 & 1 & 0 & 0 & 0 & 0 \\ 0 & 0 & 1 & 1 & 0 & 0 \\ 0 & 0 & 0 & 0 & 1 & 1 \\ -1/2 & 1/2 & -1/2 & 1/2 & -1/2 & 1/2 \end{bmatrix}$$

$$\begin{bmatrix} 2 & 2 & 0 & 0 & 0 & 0 \\ 0 & 0 & 2 & 2 & 0 & 0 \\ 0 & 0 & 0 & 0 & 2 & 2 \\ -1 & 1 & -1 & 1 & -1 & 1 \end{bmatrix}$$

# Проверка матрицы тела

- Экспериментально проверим матрицу тела с помощью точки, о которой точно известно, что она лежит внутри тела. Если знак скалярного произведения для какой-нибудь плоскости больше нуля, то соответствующее уравнение плоскости следует умножить на -1.  $[S] = [1/4 \ 1/4 \ 1/4 \ 1] = [1 \ 1 \ 1 \ 4]$ .

- $[S] \cdot [V] = [1 \ 1 \ 1 \ 4] \cdot \begin{bmatrix} 1 & 1 & 0 & 0 & 0 & 0 \\ 0 & 0 & 1 & 1 & 0 & 0 \\ 0 & 0 & 0 & 0 & 1 & 1 \\ -1/2 & 1/2 & -1/2 & 1/2 & -1/2 & 1/2 \end{bmatrix}$
- $= [-2 \ 6 \ -2 \ 6 \ -2 \ 6]$



# Построение матрицы тела по трем точкам

- Подстановка координат трех неколлинеарных точек  $(x_1, y_1, z_1)$ ,  $(x_2, y_2, z_2)$ ,  $(x_3, y_3, z_3)$  в нормированное уравнение плоскости дает

$$ax_1 + by_1 + cz_1 = -1$$

$$ax_2 + by_2 + cz_2 = -1$$

$$ax_3 + by_3 + cz_3 = -1$$

- В матричной форме  $[X][C] = [D]$

$$\begin{bmatrix} x_1 & y_1 & z_1 \\ x_2 & y_2 & z_2 \\ x_3 & y_3 & z_3 \end{bmatrix} \cdot \begin{bmatrix} a \\ b \\ c \end{bmatrix} = \begin{bmatrix} -1 \\ -1 \\ -1 \end{bmatrix}$$

- Решение уравнения  $[C] = [X]^{-1}[D]$ .



# Второй вариант определения матрицы тела

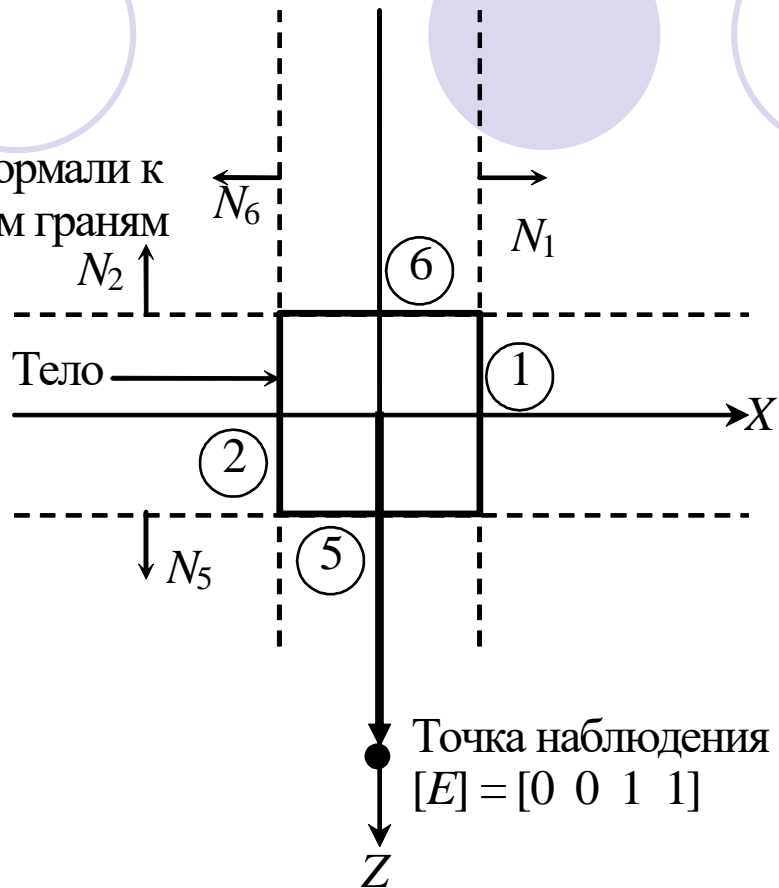
- Если известен вектор нормали к плоскости, т. е.
- $n = ai + bj + ck$ ,
- где  $i, j, k$  – единичные векторы осей  $x, y, z$  соответственно. Тогда уравнение плоскости примет вид
- $ax + by + cz + d = 0$
- Величина  $d$  вычисляется с помощью произвольной точки на плоскости. В частности, если компоненты этой точки на плоскости
- $(x_1, y_1, z_1)$ , то
- $d = -(ax_1 + by_1 + cz_1)$

# Получение матрицы тела при 3d преобразованиях

1.  $[B]$  – матрица однородных координат
2.  $[T]$  – матрица преобразования
3. Преобразованные вершины:  $[BT] = [B][T]$
4.  $[V]$  – матрица тела
5.  $[D]$  нулевая матрица
6. Справедливо, что  $[B][V] = [D]$  и  $[BT][VT] = [D]$
7. Приравниваем левые части в п. 6. и получаем  $[BT][VT] = [B][V]$
8. Подставляем  $[BT]$  из п. 3 и получаем  $[B][T][VT] = [B][V]$
9. Сокращаем на  $[B]$  и умножая слева на  $[T]^{-1}$  и получаем  
$$[VT] = [T]^{-1}[V]$$

# Пример работы алгоритма

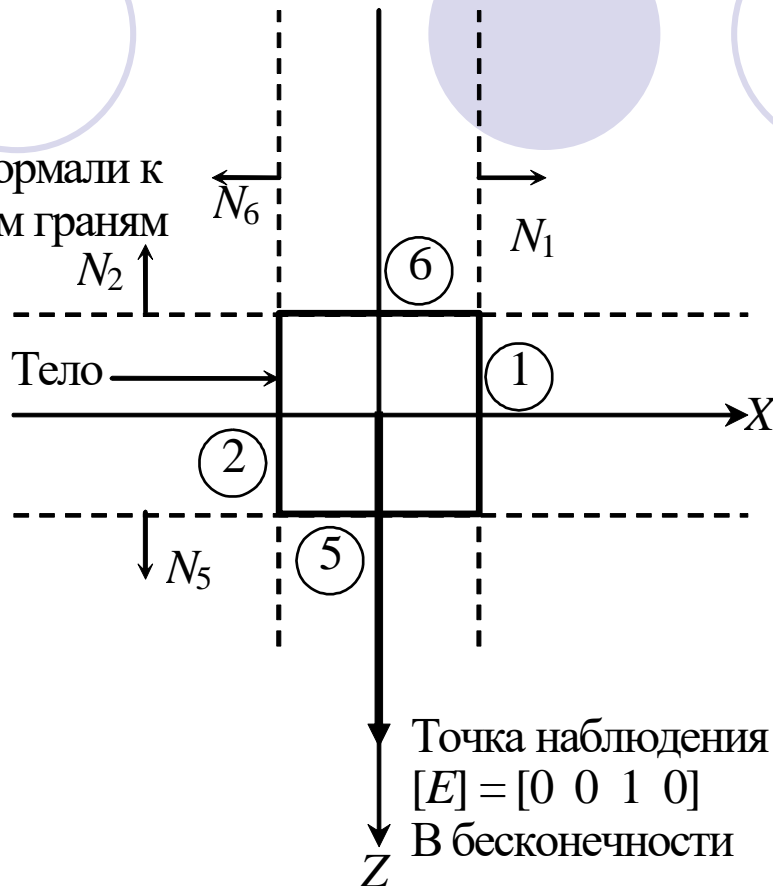
$N_1, N_2, N_5, N_6$  – нормали к соответствующим граням



$$[E] \cdot [V] = [0 \ 0 \ 1 \ 1] \cdot \begin{bmatrix} 2 & -2 & 0 & 0 & 0 & 0 \\ 0 & 0 & 2 & -2 & 0 & 0 \\ 0 & 0 & 0 & 0 & 2 & -2 \\ -1 & -1 & -1 & -1 & -1 & -1 \end{bmatrix} = [-1 \ -1 \ -1 \ -1 \ 1 \ -3].$$

# Пример для параллельных проекций

$N_1, N_2, N_5, N_6$  – нормали к соответствующим граням



$$[E] \cdot [V] = [0 \ 0 \ 1 \ 0] \cdot \begin{bmatrix} 2 & -2 & 0 & 0 & 0 & 0 \\ 0 & 0 & 2 & -2 & 0 & 0 \\ 0 & 0 & 0 & 0 & 2 & -2 \\ -1 & -1 & -1 & -1 & -1 & -1 \end{bmatrix} = [0 \ 0 \ 0 \ 0 \ 2 \ -2].$$

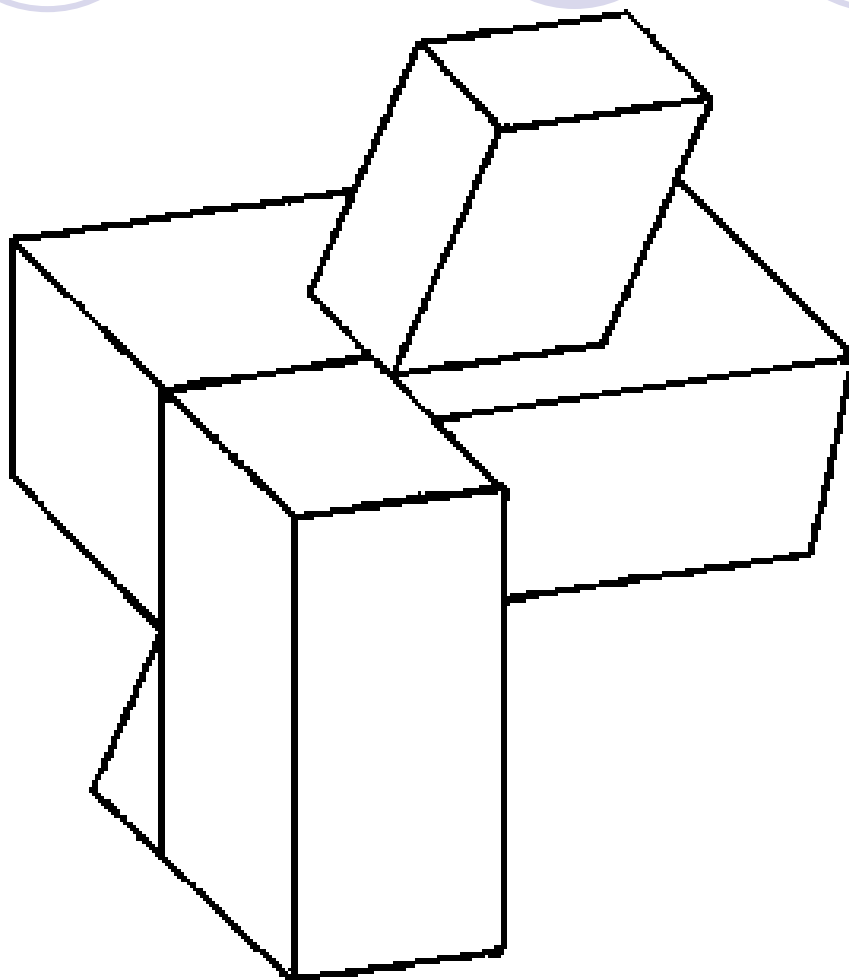
## 2 этап алгоритма Робрета (Удаление невидимых ребер)

- Каждый оставшийся отрезок или ребро нужно сравнить с другими телами

Возможны следующие случаи:

- Грань ребра не закрывает. Ребро остается в списке ребер.
- Грань полностью закрывает ребро. Ребро удаляется из списка рассматриваемых ребер.
- Грань частично закрывает ребро. В этом случае ребро разбивается на несколько частей, видимыми из которых являются не более двух. Само ребро удаляется из списка рассматриваемых ребер, но в список проверяемых ребер добавляются те его части, которые данной гранью не закрываются.

Результат



The title is centered at the top of the slide. It is flanked by five circles: a solid light purple circle on the far left, a hollow light purple circle, a solid light purple circle, a hollow light purple circle, and a solid light purple circle on the far right.

Алгоритм, использующий z-буфер